

การจำแนกประเกตเมล็ดข้าวขาวด้วยการประมวลผลภาพ Classification of White Rice Seeds by Image Processing

สุชาติ แย้มเม่น¹ นรนงค์ฤทธิ์ พิมพ์คำวงศ์² และ โชคชัยรัตน์ ฤทธิ์เงิน^{3*}

¹ผู้ช่วยศาสตราจารย์ สาขาวิชาศึกษากรรมไฟฟ้าและคอมพิวเตอร์ คณะวิศวกรรมศาสตร์ มหาวิทยาลัยเรศวร จังหวัดพิษณุโลก 65000

^{2,3}อาจารย์ สาขาวิชาศึกษากรรมไฟฟ้า คณะวิศวกรรมศาสตร์ มหาวิทยาลัยเทคโนโลยีราชมงคลล้านนา จังหวัดเชียงใหม่ 63000

บทคัดย่อ

บทความนี้ได้นำเสนอการพัฒนาอัลกอริทึมและโปรแกรมที่ใช้สำหรับการจำแนกเมล็ดข้าวขาวที่ได้รับจากกล้องถ่ายภาพเมล็ดข้าวด้วยการใช้เทคนิคประมวลผลภาพ วิธีการนี้เริ่มต้นด้วยการปรับปุ่งภาพทดสอบ แปลงภาพให้เป็นภาพใบหน้ารีทั้วยกการกำหนดค่าเขียวเมื่อเปลี่ยนแบบอัตโนมัติโดยใช้วิธีอิเซ กรองลัญญาณรบกวนด้วยกระบวนการประมวลผลภาพด้วยองค์ประกอบของโครงสร้างรูปแบบจุดสีเหลืองจัตุรัส หาขอบเมล็ดข้าวด้วยวิธีเคนนี หาความยาวของเมล็ดข้าวด้วยวิธีระยะทางแบบบูรณาการ ต่อมานำผลความยาวที่ได้รับไปเข้ากระบวนการตัดสินใจตามเกณฑ์มาตรฐานข้าวไทยเพื่อให้ได้รับค่าตอบชนิดของข้าวขาวที่นำมาทดสอบ จากผลการทดสอบเมล็ดข้าวขาวจำนวน 800 ภาพพบว่า ในกรณีที่ใช้ภาพถ่ายเมล็ดข้าวขาวหนึ่งเมล็ดต่อภาพ จำนวน 500 ภาพ โปรแกรมได้ให้ค่าความผิดพลาดของความยาวสมบูรณ์อยู่ระดับเฉลี่ย 0.01 มิลลิเมตรต่อเมล็ด และในกรณีที่ใช้ภาพถ่ายเมล็ดข้าวขาวแบบกลุ่ม จำนวน 3 กลุ่ม ๆ ละ 100 ภาพ โปรแกรมได้ให้ค่าความถูกต้องของการคัดแยกประเภทของเมล็ดข้าวขาวถึงร้อยละ 99.33% ตามเกณฑ์มาตรฐานข้าวไทย ซึ่งสามารถนำไปใช้ประโยชน์ในการกำหนดราคารับซื้อข้าวขาวระหว่างโรงสีข้าวกับชาวนาได้

Abstract

This research work presents the development of algorithms and programs used for classifying of white rice grains obtained from the camera by using image processing techniques. This procedure begins with improving input images, converting color images to binary images by setting the threshold value automatically by using the Otsu's method, noise filter process image processing with structural elements that form a square, determining the grain boundary by using the Canny's operator, determining the length of the grain by using the Euclidean's method. Next, the length results of the grains have been obtained from the decision process based on the Rice Standards of Thailand (RST) in order to receive the type solutions of tested white rice. From the testing results for 800 images, it has been shown that in case of 500 images, the developed program provided the mean absolute error of the grain length of 0.01 mm per grain. Moreover, for testing of 300 images, the developed program provided the separation accuracy of the grains up to 99.33% in term of the RST. This can be useful in determining the price of white rice in a rice mill with farmers.

คำสำคัญ : การประมวลผลภาพ การจำแนกประเภท เมล็ดข้าวขาว

Keywords : Image Processing; Classification; White Rice Seeds

* ผู้อิพนธ์ประจำงานบริษัทฯ อิเล็กทรอนิกส์ Chokcharat@rmutl.ac.th โทร. 08 1043 0984



1. บทนำ

ข้าว เป็นพืชเศรษฐกิจที่มีความสำคัญอย่างยิ่งของประเทศไทย มีพื้นที่เพาะปลูกประมาณ 57 ล้านไร่ (ที่มา: สำนักงานเศรษฐกิจการเกษตร กระทรวงเกษตรและสหกรณ์) ข้าวสารเป็นสินค้าส่งออกทางการเกษตรที่สำคัญ โดยมีปริมาณการส่งออกดังแสดงในตารางที่ 1

ตารางที่ 1 ปริมาณการส่งออกข้าวและมูลค่าการส่งออก ปี พ.ศ. 2551 ถึง พ.ศ. 2554

ปี พ.ศ.	ปริมาณส่งออก (ตัน)	มูลค่า (ล้านบาท)
2551	10,011,035	200,892
2552	8,592,830	171,719
2553	9,047,386	168,634
2554	10,666,120	192,956

ข้าวของไทยที่ส่งออก ประกอบด้วย ข้าวคุณภาพสูง ข้าวคุณภาพปานกลาง และข้าวคุณภาพต่ำ โดยมีลักษณะจำเพาะ และตลาดที่สำคัญ คือ ข้าวคุณภาพสูง เป็นข้าวคุณภาพดี เป็นข้าวขาว 100% และข้าวขาว 5% ข้าวคุณภาพสูงที่มีการส่งออกมาก ได้แก่ ข้าวหอมมะลิ ซึ่งข้าวชนิดนี้มีลักษณะ การส่งออกสูงถึงร้อยละ 80 ของปริมาณการส่งออก ข้าวคุณภาพสูงทั้งหมดของไทย ตลาดส่งออกข้าวคุณภาพสูง ได้แก่ จีน อ่องกง อิหร่าน สหรัฐอเมริกา และสิงคโปร์ ข้าวคุณภาพปานกลาง เป็นข้าวขาว 10-15% และข้าวเหนียว ข้าวคุณภาพปานกลาง มีตลาดสำคัญ ได้แก่ อินโดนีเซีย และพม่า และมาเลเซีย ข้าวคุณภาพต่ำ เป็นข้าวที่มีเมล็ดหักมากกว่า 20% ซึ่งรวมถึงปลายข้าวและข้าวนึ่งที่จัดอยู่ในข้าวกลุ่มนี้ ตลาดส่งออกข้าวคุณภาพต่ำ ได้แก่

ประเทศไทยและพม่า และตะวันออกกลาง จากอดีตจนถึงปัจจุบันสถานประกอบการโรงสีข้าวได้มีการตรวจสอบคุณภาพเมล็ดข้าวจากชาวนาโดยการใช้สายตาของผู้เชี่ยวชาญ ดูลักษณะลักษณะ ความลับบูรณาของข้าวขาวตามเกณฑ์มาตรฐานข้าวไทยของกระทรวงพาณิชย์แห่งประเทศไทยหรือไม่ หากเมล็ดข้าวขาวชนิดดี จะมีราคาสูง ในการตีราคางานแต่ละเกวียนที่ชาวนานำมาจำหน่ายจึงขึ้นอยู่กับการประเมินของผู้เชี่ยวชาญจากโรงสีข้าว (ผู้ประกอบการ) เป็นส่วนใหญ่ จึงทำให้กลุ่มชาวนาซึ่งเป็นประชากรส่วนใหญ่ของประเทศไทยไม่สามารถเจรจาต่อรองราคาได้ ทางโรงสีให้ราคาเท่าใด ถ้าชาวนาพอใจก็จะขาย แต่ถ้าไม่พอใจในราคาก็จะเป็นต้องขายเนื่องจากชาวนาไม่มีที่จัดเก็บเมล็ดข้าวขาวที่มาจำหน่ายดังกล่าว โดยเฉพาะอย่างยิ่ง หากผู้เชี่ยวชาญของโรงสีได้ทำการประเมินผิดพลาด อาจเกิดจากความผิดพลาดหลายสาเหตุ เช่น การเอารัดเอาเปรียบกับชาวนาของทางผู้ประกอบการ หรือความไม่ชำนาญของผู้ประเมินจากปัญหาดังกล่าวข้างต้น กลุ่มชาวนาที่เป็นลูกค้าผู้ประกอบการโรงงานเกษตรบ้านกร่าง อำเภอเมือง จังหวัดพิษณุโลก จึงมีความต้องการเครื่องมือสำหรับการจำแนกประเภทเมล็ดข้าวขาว ดังนั้นผู้ประกอบการโรงงานเกษตรบ้านกร่างจึงมีแนวคิดศึกษา ออกแบบ และพัฒนาอุปกรณ์ต้นแบบสำหรับการจำแนกประเภทของเมล็ดข้าวขาวร่วมกับผู้วิจัย

ในการจำแนกประเภทเมล็ดข้าวขาวได้นำเทคโนโลยีทางด้านการประมวลผลภาพในการตรวจหาลักษณะที่สนใจมาประยุกต์ใช้ ซึ่งได้ถูกพัฒนาขึ้นมาอย่างหลากหลายวิธีดังต่อไปนี้ (Ajmal et al., 2010) นำเสนองานการตรวจสอบและการจำแนกประเภทของ

yanพาหนะด้วยการประมวลผลภาพโดยใช้กล้องถ่ายภาพทางอากาศ ซึ่งกระบวนการดังกล่าว จะทำการหาขอบและกำหนดค่าขีดแบ่ง ร่วมกับ การประมวลผลภาพด้วยรูปร่างและโครงสร้างของภาพช่วยในการตรวจสอบ yanพาหนะ ผลที่ได้ สามารถแบ่งประเภท yanพาหนะได้เหมาะสมสม และ มีอัตราความสำเร็จมากกว่า 85% (Sim et al., 2008) นำเสนอวิธี Contrast Enhancement Bilateral Closing Top-hat Otsu Thresholding (CEBICHTOT) ในการตรวจหารอยแตกในโครงสร้าง มีขั้นตอนคือ 1. เพิ่มความคมชัดของภาพ จากนั้น ทำการแปลงเป็นภาพระดับเทา 2. นำภาพที่ได้ไป ผ่านตัวกรองใบลาเทอรอล (bilateral) 3. ทำการ ประมวลผลภาพด้วยรูปร่างและโครงสร้างของภาพ ด้วยกระบวนการโคชซิงท็อปแฮท (closing top-hat) เพื่อทำการลบพื้นหลังออกจากภาพ 4. ประยุกต์ใช้ วิธีโอลีซีทำการแยกพื้นหลัง และสุดท้ายลดลิ้งรบกวน ผลที่ได้ทำให้สามารถตรวจหารอยแตกจากภาพ โครงสร้างได้ชัดเจน (Ruihua Xia) นำเสนอวิธี การอธิบายประภูมิการณ์ที่ภาพเซลล์ช้อนทับกัน ที่สามารถพบได้ในภาพเซลล์เม็ดเลือดขาวของหนู ชนิด Macrophages โดยเริ่มนั่นด้วยการแบ่งรูปภาพ ตามวิธีโอลีซี จากนั้นทำการประมวลผลภาพด้วย รูปร่างและโครงสร้างของภาพ เพื่อใช้กำจัดลิ้งรบกวน ขั้นตอนสุดท้ายใช้วิธีวอเตอร์เชส (watershed) ตามระยะทางที่เปลี่ยนเป็นการดำเนินการเพื่อแบ่ง ส่วนภาพ ผลที่ได้ทำให้สามารถแบ่งกลุ่มภาพเซลล์ เม็ดเลือดขาวของหนูชนิด Macrophages ได้ และ (Lin et al., 2009) นำเสนอการตรวจลองหา จุดบกพร่องที่เกิดขึ้นบนทางรถไฟ โดยใช้เทคนิค ทางสถิติจากค่าฮิตโต้แกรมและการกำหนดค่าขีด แบ่งแบบปรับตัวได้

บทความนี้ได้พัฒนาวิธีการจำแนกประเภท เมล็ดข้าวขาวโดยการประยุกต์ใช้เทคนิคทางด้าน การประมวลผลภาพต่าง ๆ เช่น การหาตำแหน่ง ของวัตถุโดยใช้หลักการสหสมัยพันธ์ (Liang et al., 2010) การแปลงภาพระดับเทาเป็นภาพขาวดำโดย ใช้ค่าขีดแบ่งอัตโนมัติ (Otsu, 1979) การติดป้าย ส่วนประกอบที่เชื่อมต่อ (Baraghimian, 1989) การกรองสัญญาณรบกวนโดยการประยุกต์ใช้การ เปลี่ยนรูปแบบเบิดด้วยการประมวลผลภาพองค์ ประกอบโครงสร้าง (Soille, 2013) การหาขอบภาพ โดยวิธีแคนนี่ (Canny, 2010) การหาความยาว เลี้นขอบจากระยะทางคู่พิกัด และทำการหา ประลิทึปภาพของโปรแกรมที่พัฒนาขึ้นด้วย (Mean Absolute Error) และค่าความถูกต้องของการ จำแนกประเภทเมล็ดข้าวขาวในหน่วยร้อยละ

2. วิธีการทดลอง

บทความนี้ ได้นำเสนอการออกแบบและ พัฒนาอัลกอริทึมที่ใช้สำหรับการจำแนกเมล็ด ข้าวขาวโดยใช้เทคนิคการประมวลผลภาพ เริ่มต้น ด้วยการศึกษาข้อมูลเมล็ดข้าวขาวตามมาตรฐาน ข้าวไทย ของกระทรวงพาณิชย์ ปี พ.ศ. 2540 (กระทรวงพาณิชย์, 2540) เพื่อนำมาใช้เป็น เกณฑ์ในการตรวจสอบประเภทของข้าวขาว ในการ คัดแยกประเภทของเมล็ดข้าวขาวจะต้องพิจารณา 3 องค์ประกอบหลักดังนี้ (1) ส่วนผสมของเมล็ดข้าว (2) ระดับของการสีข้าว และ (3) พื้นข้าว (หมายถึง เมล็ดข้าวที่มีขนาดความยาวระดับต่าง ๆ ตามที่ กำหนด ซึ่งเป็นส่วนผสมของข้าวแต่ละชั้นตาม อัตราส่วนที่กำหนด) ในทางปฏิบัติ ผู้เชี่ยวชาญต้อง พิจารณาเฉพาะพื้นข้าวของเมล็ดข้าวที่วางอยู่บน กระดังด้วยการใช้ขานาดความยาวของเมล็ดข้าวใน

การจำแนกประเภทของเมล็ดข้าว ดังนี้น อัลกอริทึม และโปรแกรมที่พัฒนาขึ้นในงานวิจัยนี้ จึงมุ่งเน้น เฉพาะจำแนกประเภทเมล็ดข้าวด้วยองค์ประกอบ พื้นข้าวเพียงอย่างเดียว ใน การพัฒนาอัลกอริทึม และโปรแกรมที่ใช้ระบบประมวลผลภาพ มี 9 ขั้นตอน ดังรูปที่ 1

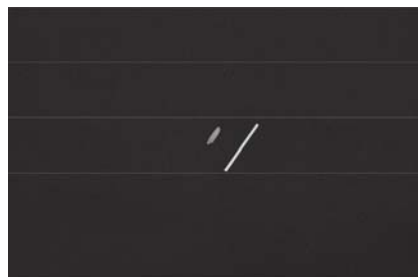


รูปที่ 1 แผนผังขั้นตอนการจำแนกชนิดข้าวขาว

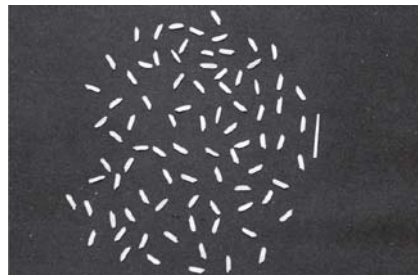
2.1 ขั้นตอนและวิธีการ

ขั้นตอนที่ 1 จัดเตรียมข้อมูลภาพ (Prepare the Image Data)

แบ่งภาพทดสอบออกเป็น 2 กรณีคือ กรณีที่ 1 ใช้กล้องดิจิทัลถ่ายภาพเมล็ดข้าวขาวหนึ่งเมล็ดต่อภาพ มีขนาดแต่ละภาพ 720×480 พิกเซล จำนวน 500 ภาพ ดังรูปที่ 2 และกรณีที่ 2 ใช้กล้องดิจิทัล ถ่ายภาพเมล็ดข้าวขาวแบบกลุ่มซึ่งแต่ละเมล็ดไม่ติดกัน แต่ละภาพมีขนาด 720×480 พิกเซล จำนวน 300 ภาพ ดังรูปที่ 3 โดยทั้ง 2 กรณีจะใส่กระดาษขนาดความยาว 20 มิลลิเมตร และ ความกว้าง 1 มิลลิเมตร วางบนพื้นหลังภาพบริเวณใกล้เคียงตัวอย่างเมล็ดข้าวขาว โดยกระดาษอ้างอิง นี้ใช้หลักเกลที่แท้จริงของเมล็ดข้าวขาว



รูปที่ 2 ตัวอย่างภาพเมล็ดข้าวขาวแบบหนึ่งเมล็ด



รูปที่ 3 ตัวอย่างภาพเมล็ดข้าวขาวแบบกลุ่ม

ขั้นตอนที่ 2 แปลงภาพสีให้เป็นภาพระดับเทา (Converting Color Images to Gray Scale Image)

นำภาพทดสอบซึ่งเป็นภาพสีที่ได้รับจากขั้นตอนที่ 1 มาแปลงให้เป็นภาพระดับเทา สามารถเขียนความลัมพันธ์ได้ดังสมการที่ 1

$$\text{Grayscale} = \lfloor (R + G + B) / 3 \rfloor \quad (1)$$

โดยที่ R, G และ B คือค่าระดับความเข้มของแสงสีเขียว และค่าระดับความเข้มของแสงสีน้ำเงิน ตามลำดับ และ $\lfloor \cdot \rfloor$ คือ ตัวดำเนินการแปลงเลขจำนวนจริง ให้เป็นเลขจำนวนเต็ม และส่วน Grayscale เป็นค่าระดับเทาที่มีเลขจำนวนเต็มตั้งแต่ 0 ถึง 255 (0 แทนค่าระดับเทาสีดำ และ 255 แทนค่าระดับเทาสีขาว)

ขั้นตอนที่ 3 แปลงภาพระดับเทาเป็นภาพไบナรี (Converting Gray Level Images into Binary Images)

นำภาพระดับเทาที่ได้รับจากขั้นตอนที่ 2 มาแปลงให้เป็นภาพไบนารี โดยหาค่าขีดเริ่มเปลี่ยนแบบอัตโนมัติที่เหมาะสม t ด้วยวิธีโอบซี (N. Otsu, 1979) ที่ทำให้ค่าความแปรปรวนระหว่างกลุ่มมากที่สุด ($\sigma_b^2[t]$) ตามโจทย์ปัญหาการหาค่าความเหมาะสมซึ่งสามารถเขียนความลัมพันธ์ได้ดังสมการที่ 2

$$\max_{t \in \{0,1,2,\dots,255\}} \sigma_b^2[t] = \max_{t \in \{0,1,2,\dots,255\}} \frac{\{\mu_T \omega[t] - \mu[t]\}^2}{\omega[t](1-\omega)[t]} = \sigma_b^2[t^*] \quad (2)$$

โดยที่ $\omega[t]$ คือ ผลรวมของค่าความน่าจะเป็นที่ເื่ေ້ມค่าระดับเท่าน้อยกว่า t ในขณะที่ μ_T และ $\mu[t]$ คือค่าเฉลี่ยของค่าระดับเทาของภาพและค่าโมเมนต์

สะสมอันดับหนึ่งของฮิลโตแกรมตั้งแต่ค่าระดับเทา 0 จนถึง $t-1$ เมื่อได้รับค่าขีดเริ่มเปลี่ยนที่เหมาะสม (t^*) จากคำตอบ ที่เหมาะสมในความลัมพันธ์ที่ 2 นำค่าขีดเริ่มเปลี่ยนที่เหมาะสมนี้มาใช้ในการแปลงภาพระดับเทาเป็นภาพ ไบนารี ทำโดยการกำหนดให้ $w[x,y]$ และ $b[x,y]$ เป็นค่าระดับเทาของภาพ และภาพไบนารี ตามลำดับ โดยการใช้ตัวดำเนินการขีดเริ่มเปลี่ยนแบบแข็ง (Gonzalez and Woods, 2002) สามารถหาค่าระดับเทาของภาพไบนารี ณ ตำแหน่ง $[x,y]$ ตามความลัมพันธ์ดังสมการที่ 3

$$b[x,y] = \begin{cases} 1 & \text{if } w[x,y] \geq t^* \\ 0 & \text{if } w[x,y] < t^* \end{cases} \quad (3)$$

ขั้นตอนที่ 4 กรองสัญญาณรบกวน (Noise Reduction)

โดยใช้การเปลี่ยนรูปแบบเบิด (Morphological Opening) ด้วยการใช้การประมวลผลภาพองค์ประกอบโครงสร้างรูปสี่เหลี่ยมจัตุรัส จำนวน 6 ขนาด เริ่มจากขนาด 3×3 , 5×5 , 7×7 , 9×9 , 11×11 จนถึง 13×13 พิกเซล ซึ่งเป็นกระบวนการที่ใช้กำจัดรายละเอียดของวัตถุขนาดเล็กที่ยื่นออกจากแต่ละครั้งรายละเอียดของภาพที่สนใจไว้เพื่อมีอนเดิม ซึ่งการดำเนินการเปลี่ยนรูปแบบเบิดของภาพ A โดย B เขียนแทนด้วยลัญลักษณ์ $A \circ B$ ตามความลัมพันธ์สมการที่ 4 โดยเป็นการกระทำระหว่างภาพกับองค์ประกอบโครงสร้าง ด้วยกระบวนการกัดกร่อนขอบภาพ (Erosion) และกระบวนการขยายขอบภาพ (Dilation) ตามลำดับ

$$A \circ B = (A \ominus B) \oplus B \quad (4)$$

โดยที่ A คือ ภาพที่ต้องการเปลี่ยนรูปแบบเบิด และ B คือองค์ประกอบโครงสร้าง (Structuring Element)

ขั้นตอนที่ 5 หาขอบภาพของเมล็ดข้าวขาว (Edges of Rice Grains)

ทำโดยการนำภาพใบนา稻ที่ได้รับจากขั้นตอนที่ 4 มาดำเนินการหาขอบภาพด้วยวิธีแคนนี้ (Canny, 2010) ประกอบด้วย 4 ขั้นตอน ซึ่งเริ่มต้นจากการปรับปรุงภาพเพื่อลดสัญญาณรบกวนด้วยการใช้วงจรกรองเกาล์เชียนแบบเรียบ ต่อมาคำนวณหาค่าของขนาดและทิศทางของเกรเดียนต์ รวมทั้งจัดเก็บค่าของขนาดสูงสุดเฉพาะที่และเป็นทิศทางเดียวกันกับเกรเดียนต์เพื่อทำให้ขอบภาพชัดขึ้น จากนั้น กำจัดค่าของขนาดที่น้อยกว่าค่าสูงสุดของขนาดเกรเดียนต์เพื่อทำให้ได้ขอบภาพที่บางหายไป และในขั้นตอนสุดท้าย จะใช้การกำหนดค่าซีดเริ่มเปลี่ยนเพื่อหาพิกเซลที่เป็นขอบและทำการเชื่อมต่อขอบ

ขั้นตอนที่ 6 หาความยาวของเมล็ดข้าวขาว (Long Grain White Rice)

ทำโดยการนำข้อมูลพิกัดตำแหน่งของขอบเมล็ดข้าวขาวจากภาพที่ได้รับในขั้นตอนที่ 5 มาหาระยะทางแต่ละคู่พิกัด และคัดเลือกคู่พิกัดที่มีระยะห่างกันมากที่สุดเป็นความยาวของเมล็ดข้าวขาว เพื่อใช้ในการระบุประเภทข้าวขาวในขั้นตอนต่อไป ในงานวิจัยนี้ ขั้นตอนการหาความยาวของเมล็ดข้าวขาว ทำได้โดยการกำหนด (x_n, y_n) ให้เป็นพิกัดตำแหน่งของขอบเมล็ดข้าวขาว จำนวน N จุด โดยที่ $n = 1, 2, 3, \dots, N$ สามารถหาระยะทางระหว่างแต่ละคู่พิกัดตำแหน่งได้ทั้งหมด $N(N-1)/2$ ชุด สามารถเขียนความล้มพันธ์ได้ดังสมการที่ 5

$$d[n, k] = \sqrt{(x_n - x_{n+k})^2 + (y_n - y_{n+k})^2} \quad (5)$$

โดยที่ $k = 1, 2, 3, \dots, N-n$ และหากความยาวของเมล็ดข้าวขาวได้จากคู่พิกัดตำแหน่งที่มีระยะห่างมากที่สุด ($d[n^o, k^o]$) ตามโจทย์ปัญหาการหาค่าความเหมาะสม ซึ่งสามารถเขียนความล้มพันธ์ได้ดังสมการที่ 6

$$\max_{\substack{n \in \{1, 2, 3, \dots, N\} \wedge \\ k \in \{1, 2, 3, \dots, N-n\}}} d[n, k] = d[n^o, k^o] \quad (6)$$

ขั้นตอนที่ 7 จำแนกความยาวของเมล็ดข้าวขาวตามเกณฑ์มาตรฐานข้าวไทย (Classification Length of RST)

ทำโดยการนำความยาวของเมล็ดข้าวขาวที่ได้รับจากขั้นตอนที่ 6 มาทำการจำแนกตามเกณฑ์พื้นข้าว ซึ่งแบ่งออกเป็น 4 กลุ่ม ก่อรากศือ

(1) ความยาวเมล็ดข้าวขาวมากกว่า 7 มิลลิเมตร คือ เมล็ดยาวชั้น 1

(2) ความยาวเมล็ดข้าวขาวมากกว่า 6.6 มิลลิเมตร ถึง 7 มิลลิเมตร คือ เมล็ดยาวชั้น 2

(3) ความยาวเมล็ดข้าวขาวมากกว่า 6.2 มิลลิเมตร ถึง 6.6 มิลลิเมตร คือ เมล็ดยาวชั้น 3

(4) ความยาวเมล็ดข้าวขาวน้อยกว่า 6.2 มิลลิเมตร คือ เมล็ดลั้น

ขั้นตอนที่ 8 สร้างฟังก์ชันการตัดสินใจ (Decision Functions)

ทำโดยการกำหนดเงื่อนไขกลุ่มข้าวที่ได้รับจากขั้นตอนที่ 7 ตามเกณฑ์มาตรฐานข้าวไทย เพื่อนำข้อมูลกลุ่มข้าวเหล่านี้มาจำแนกประเภทของข้าวขาวในงานวิจัยนี้ ได้จำแนกกลุ่มข้าวขาวตามพื้นข้าวทั้งหมด 3 ชนิด คือ



(1) ข้าวขาว 100% ชั้น 1 มีพื้นข้าวประกอบด้วยกลุ่มข้าวเมล็ดยาวชั้น 1 ไม่น้อยกว่า 70% และกลุ่มข้าวเมล็ดยาวชั้น 3 ไม่เกิน 5% ส่วนกลุ่มข้าวเมล็ดยาวชั้น 2 มีเท่าเดียวกัน

(2) ข้าวขาว 100% ชั้น 2 มีพื้นข้าวประกอบด้วยกลุ่มข้าวเมล็ดยาวชั้น 1 ไม่น้อยกว่า 40% และกลุ่มข้าวเมล็ดลับได้ไม่เกิน 5% ส่วนกลุ่มข้าวเมล็ดยาวชั้น 2 หรือ ชั้น 3 มีจำนวนเท่าเดียวกัน และ

(3) ข้าวขาว 10% มีพื้นข้าวประกอบด้วยกลุ่มข้าวเมล็ดยาวชั้น 1 ไม่น้อยกว่า 10% และกลุ่มข้าวเมล็ดลับได้ไม่เกิน 15% ส่วนกลุ่มข้าวเมล็ดยาวชั้น 2 หรือ ชั้น 3 มีจำนวนเท่าเดียวกัน

ขั้นตอนที่ 9 ระบุชนิดของข้าวขาว (Type of White Rice)

ทำโดยการนำผลพื้นที่การจำแนกชนิดของเมล็ดข้าวขาวในขั้นตอนที่ 8 มาพิจารณาและแสดงผลออกบนจออนิเตอร์ในรูปแบบตัวอักษรที่ระบุว่าแต่ละภาพของเมล็ดข้าวขาวที่นำมาทดสอบกับโปรแกรมที่พัฒนาขึ้นมาว่าเป็นประเภทใดใน 3 ชนิด คือ (1) ข้าวขาว 100% ชั้น 1 (2) ข้าวขาว 100% ชั้น 2 และ (3) ข้าวขาว 10%

2.2 การวัดประสิทธิภาพขั้นตอนและวิธีการ

ในการวัดประสิทธิภาพของการหาความยาวของเมล็ดข้าวขาวตามขั้นตอนที่ 6 ทำโดยการนำภาพเมล็ดข้าวขาวหนึ่งเมล็ดแต่ละชนิด (ข้าวขาวชนิด 100% ชั้น 1 ข้าวขาวชนิด 100% ชั้น 2 และข้าวขาวชนิด 10%) รวม 500 ภาพ ซึ่งทราบแล้วว่ามีค่าความยาวของเมล็ดข้าวขาวทุกเมล็ด

โดยการใช้เวอร์เนียร์คัลิเปอร์วัดความยาว ต่อมานำภาพเหล่านี้หาความยาวของเมล็ดข้าวด้วยโปรแกรมที่พัฒนาขึ้นและเปรียบเทียบผลลัพธ์ที่ได้กับค่าความยาวที่ได้รับจากการใช้เวอร์เนียร์คัลิเปอร์ในรูปแบบค่าความคลาดเคลื่อนล้มบูรณาเฉลี่ย (Mean Absolute Error, MAE) ซึ่งสามารถเขียนความล้มเหลวนี้ได้ดังสมการที่ 7

$$MAE = \frac{1}{M} \sum_{k=1}^M |l[k] - \hat{l}[k]| \quad (7)$$

โดยที่ $l[k]$ และ $\hat{l}[k]$ คือ ค่าความยาวของเมล็ดข้าวขาวที่ได้รับจากการใช้เวอร์เนียร์คัลิเปอร์วัดและค่าความยาวของเมล็ดข้าวขาวที่ได้รับจากการใช้โปรแกรมวัด และ M คือจำนวนของเมล็ดข้าวขาวที่ใช้ทดสอบ

นอกจากนี้ยังได้วัดประสิทธิภาพของอัลกอริทึมและโปรแกรมที่พัฒนาขึ้นในการคัดแยกหรือจำแนกประเภทของกลุ่มเมล็ดข้าวขาวจากภาพถ่ายดิจิทัลอีก จำนวน 300 ภาพ ซึ่งได้แบ่งออกเป็นข้าวขาวชนิด 100% ชั้น 1 ข้าวขาวชนิด 100% ชั้น 2 และข้าวขาวชนิด 10% อย่างละ 100 ภาพ โดยตัววัดประสิทธิภาพในกรณีนี้ จะใช้ค่าความถูกต้องของการจำแนกในหน่วยร้อยละหรือเปอร์เซ็นต์ ซึ่งเขียนความล้มเหลวนี้ได้ดังสมการที่ 8

$$\text{ค่าความถูกต้องในการจำแนก} \frac{A}{K} \times 100 [\%] \quad (8)$$

โดยที่ A คือ จำนวนภาพของกลุ่มเมล็ดข้าวขาวที่ระบุชนิดเมล็ดข้าวขาวถูกต้องจากจำนวนภาพทั้งหมด K รูป และ K คือ จำนวนภาพของกลุ่มเมล็ดข้าวขาวทั้งหมดที่ใช้ทดสอบ

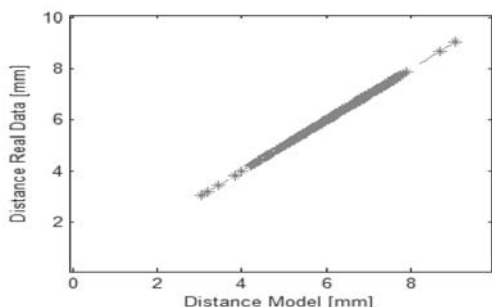


3. ผลการทดลองและวิเคราะห์ผล

เพื่อทดสอบประสิทธิภาพของลำดับขั้นตอนที่พัฒนาขึ้นซึ่งใช้สำหรับการจำแนกประเภทเมล็ดข้าวขาวจากภาพถ่ายดิจิทัลตามเกณฑ์มาตรฐานข้าวไทยปี พ.ศ. 2540 จะกล่าวถึงผลการศึกษา และการอภิปรายผลดังนี้

3.1 ผลการทดลอง

ในการทดลองและทดสอบประสิทธิภาพของอัลกอริทึมและโปรแกรมที่ได้พัฒนาขึ้น ผู้วิจัยใช้ภาพของเมล็ดข้าวขาวทั้งหมด 800 ภาพ โดยแบ่งการทดลองออกเป็น 2 กรณี คือ กรณีที่ 1 ทดลองหาค่าความยาวของเมล็ดข้าวขาวแบบหนึ่งเมล็ด จากภาพจำนวน 500 ภาพ โดยใช้โปรแกรมที่พัฒนาขึ้นเปรียบเทียบกับการวัดด้วยเวอร์เนียร์คัลิเปอร์ ซึ่งดำเนินการตามขั้นตอนที่ 1 ถึง ขั้นตอนที่ 6 ตามที่กล่าวมาแล้วในหัวข้อที่ 2 พบว่า ค่าความคลาดเคลื่อนความยาวสมบูรณ์เฉลี่ยในหนึ่งเมล็ดเท่ากับ 0.01 มิลลิเมตร และได้เขียนเล่นตຽห่วงระหว่างความยาวเมล็ดข้าวขาวที่ได้รับจากการทั้งสองวิธี ดังรูปที่ 4



รูปที่ 4 คุณลักษณะความยาวเมล็ดข้าวขาวที่ได้รับจากการวัดด้วยวิธีโปรแกรมกับวิธีเวอร์เนียร์คัลิเปอร์

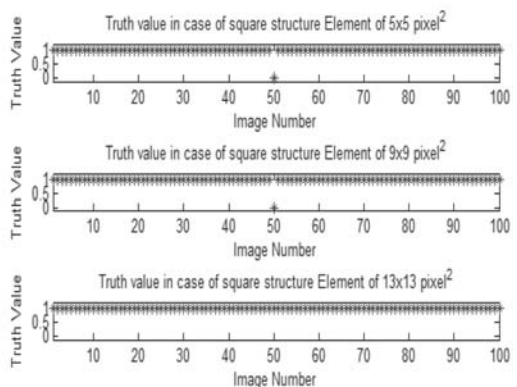
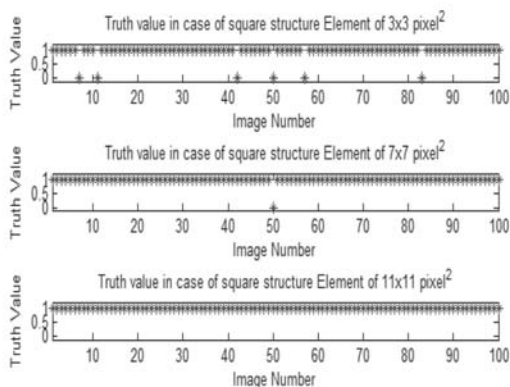
นอกจากนี้ได้ทดลองและทดสอบประสิทธิภาพของโปรแกรมที่ใช้สำหรับการจำแนกประเภทของกลุ่มข้าวขาวจากภาพกลุ่มข้าวขาวนิด 100% ชั้น 1 กลุ่มข้าวขาวนิด 100% ชั้น 2 และกลุ่มข้าวขาวนิด 10% จำนวนนิดละ 100 ภาพ ซึ่งดำเนินการตามขั้นตอนที่ 1 ถึง 9 ตามที่กล่าวมาแล้วในหัวข้อที่ 2 พบว่าจากผลการทดลองในตารางที่ 2 ค่าความถูกต้องในการจำแนกเมื่อใช้องค์ประกอบโครงสร้างรูปสี่เหลี่ยมจัตุรัสขนาด 5×5 พิกเซล มีค่าความถูกต้องสูงที่สุด โดยพบว่าประสิทธิภาพในการตรวจสอบคุณภาพเมล็ดข้าวขาว 100% ชั้น 1, ข้าวขาว 100% ชั้น 2 และข้าวขาว 10% ได้ถูกต้อง 99 ภาพ, 99 ภาพ และ 100 ภาพ ตามลำดับ จะเห็นได้ว่าการจำแนกประเภทข้าวขาว 100% ชั้น 2 และข้าวขาว 10% สำหรับกรณี 3×3 พิกเซล และ 5×5 พิกเซล ให้ผลถูกต้องเท่ากัน แต่กรณีจำแนกประเภทข้าวขาว 100% ชั้น 1 กรณี 3×3 พิกเซล ได้ให้ความถูกต้องการจำแนกน้อยกว่ากรณี 5×5 พิกเซล ดังนั้นจึงพอสรุปได้ว่า การใช้ขนาดองค์ประกอบโครงสร้างรูปสี่เหลี่ยมจัตุรัสที่เหมาะสมคือ 5×5 พิกเซล สำหรับการจำแนกประเภทข้าวขาว 100% ชั้น 1, ข้าวขาว 100% ชั้น 2 และข้าวขาว 10% ด้วยวิธีลำดับขั้นตอนและโปรแกรมที่พัฒนาขึ้น

ตารางที่ 2 ผลการจำแนกประเภทเมล็ดข้าวขาว
แบบกลุ่มด้วยวิธีที่นำเสนอ

ขนาด พิกเซล	ข้าวขาว		ข้าวขาว		ข้าวขาว	
	100% ชั้น 1	ชั้น 2	100% ชั้น 2	10%	ถูก	ผิด
3x3	94	6	99	1	100	0
5x5	99	1	99	1	100	0
7x7	99	1	99	1	99	1
9x9	99	1	99	1	98	2
11x11	100	0	97	3	95	5
13x13	100	0	49	51	2	98

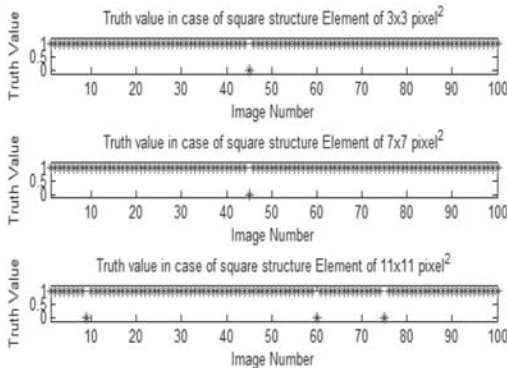
จากการเลือกขนาดขององค์ประกอบบีโกรงสร้างรูปสี่เหลี่ยมจัตุรัส 6 กรณี คือ 3×3 , 5×5 , 7×7 , 9×9 , 11×11 และ 13×13 พิกเซล ในแต่ละกรณีนำข้อมูลเมล็ดข้าวมาหาความยาวและจำแนกเมล็ดข้าวขาวตามเกณฑ์มาตรฐานข้าวไทยโดยที่การจำแนกกลุ่มข้าวขาวตามพื้นข้าวแบ่งออกเป็น 3 ชนิด ๆ ละ 100 ภาพ ได้ผลการทดลองทั้ง 18 กรณี ดังต่อไปนี้

กรณีที่ 1-6 : จากข้อมูลการจำแนกข้าวขาว 100% ชั้น 1 ในตารางที่ 2 โดยการใช้โปรแกรมที่พัฒนาขึ้นกับองค์ประกอบบีโกรงสร้างรูปสี่เหลี่ยมจัตุรัสขนาด 3×3 , 5×5 , 7×7 , 9×9 , 11×11 และ 13×13 พิกเซล ได้ผลลัพธ์ดังแสดงไว้ในรูปที่ 5



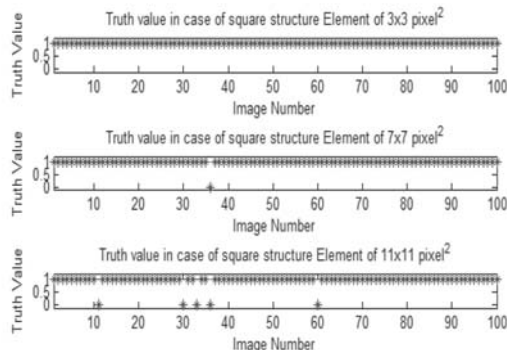
รูปที่ 5 ผลลัพธ์เปรียบเทียบการจำแนกข้าวขาวประเภท 100% ชั้น 1 กรณีใช้อองค์ประกอบบีโกรงสร้างรูปสี่เหลี่ยมจัตุรัสขนาด 3×3 , 5×5 , 7×7 , 9×9 , 11×11 และ 13×13 พิกเซล

กรณีที่ 7-12 : จากข้อมูลการจำแนกข้าวขาว 100% ชั้น 2 ในตารางที่ 2 โดยการใช้โปรแกรมที่พัฒนาขึ้นกับองค์ประกอบโครงสร้างรูปลี่เหลี่ยมจัตุรัสขนาด 3×3 , 5×5 , 7×7 , 9×9 , 11×11 และ 13×13 พิกเซล



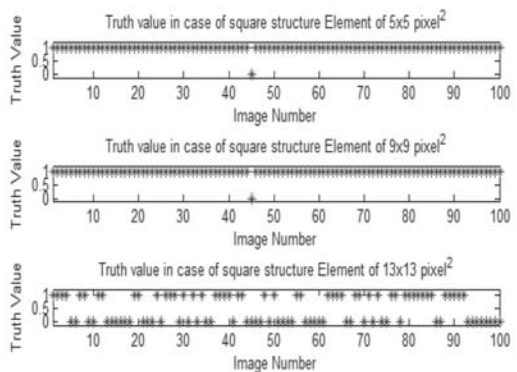
รูปที่ 6 ผลลัพธ์เปรียบเทียบการจำแนกข้าวขาวประเภท 100% ชั้น 2 กรณีใช้องค์ประกอบโครงสร้างรูปลี่เหลี่ยมจัตุรัสขนาด 3×3 , 5×5 , 7×7 , 9×9 , 11×11 และ 13×13 พิกเซล

กรณีที่ 13-18 : จากข้อมูลการจำแนกข้าวขาว 10% ในตารางที่ 2 โดยการใช้โปรแกรมที่พัฒนาขึ้นกับองค์ประกอบโครงสร้างรูปลี่เหลี่ยมจัตุรัสขนาด 3×3 , 5×5 , 7×7 , 9×9 , 11×11 และ 13×13 พิกเซล

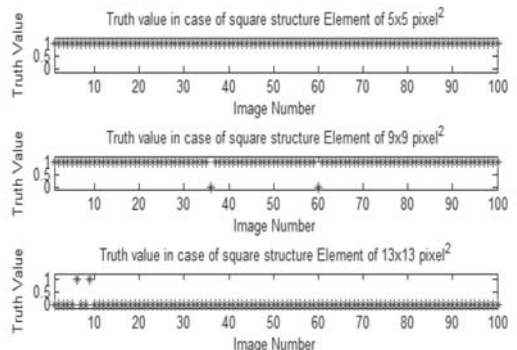


รูปที่ 7 ผลลัพธ์เปรียบเทียบการจำแนกข้าวขาวประเภท 10% กรณีใช้องค์ประกอบโครงสร้างรูปลี่เหลี่ยมจัตุรัสขนาด 3×3 , 5×5 , 7×7 , 9×9 , 11×11 และ 13×13 พิกเซล

ได้ผลลัพธ์ดังแสดงไว้ในรูปที่ 6 จะเห็นได้ว่าเมื่อเพิ่มขนาดองค์ประกอบของโครงสร้างรูปลี่เหลี่ยมจัตุรัสมีผลทำให้ความผิดพลาดในการจำแนกข้าวขาวประเภท 100% ชั้น 2 เพิ่มมากขึ้นด้วย



ได้ผลลัพธ์ดังแสดงไว้ในรูปที่ 7 จะเห็นได้ว่าหากเพิ่มขนาดองค์ประกอบของโครงสร้างรูปลี่เหลี่ยมจัตุรัสจะทำให้ความผิดพลาดในการจำแนกข้าวเพิ่มมากขึ้น



3.2 อกิจกรรม

หลังจากได้นำภาพของเมล็ดข้าวขาวทั้งหมด 800 ภาพมาทดสอบการจำแนกประเภทข้าวขาว ตามที่แสดงผลการทดลองไว้ในหัวข้อก่อนหน้านี้ สามารถอภิปรายผลแต่ละการทดลองได้ดังต่อไปนี้

จากการทดลองหาความยาวเมล็ดข้าวแบบหนึ่งเมล็ด จำนวน 500 ภาพ พบว่า อัลกอริทึม หรือโปรแกรมที่ได้พัฒนาขึ้นสามารถหาค่าความคลาดเคลื่อนสมบูรณ์เฉลี่ยของความยาวเมล็ดข้าวขาวได้เท่ากับ 0.01 มิลลิเมตรต่อเมล็ด เมื่อเปรียบเทียบกับการวัดด้วยเวอร์เนียร์คัลิเบอร์ นอกจากนี้ คุณลักษณะความยาวที่ได้รับจากโปรแกรม กับเวอร์เนียร์คัลิเบอร์มีความลับพันธ์เป็นเล่น ตรงกันจุดกำหนดดังแสดงไว้ในรูปที่ 4 โดยมีค่าสหลัมพันธ์แบบบี้ว์เท่ากับ 0.99 ซึ่งอาจกล่าวได้ว่า ความลับพันธ์เป็นเล่นตรงดังกล่าวทำให้ความยาวเมล็ดข้าวขาวจากการวัดด้วยโปรแกรมที่พัฒนาขึ้น กับการวัดด้วยวิธีเวอร์เนียร์คัลิเบอร์มีค่าใกล้เคียง กันมากหรืออาจมีค่าเท่ากันได้หากยอมรับค่าความผิดพลาดเฉพาะทchnิยมตำแหน่งที่สอง

จากการทดลองในการจำแนกประเภท ข้าวขาว 100% ชั้น 1 จำนวน 100 ภาพ ร่วมกับ องค์ประกอบโครงสร้างรูปสี่เหลี่ยมจัตุรัสขนาด 3×3 , 5×5 , 7×7 , 9×9 , 11×11 และ 13×13 พิกเซล ในตาราง 2 พบว่า อัลกอริทึมหรือโปรแกรมที่ได้พัฒนาขึ้นสามารถจำแนกประเภทข้าวขาว 100% ชั้น 1 ได้ค่าความถูกต้องเท่ากับ 94% สำหรับขนาด 3×3 พิกเซล ค่าความถูกต้องเท่ากับ 99% สำหรับขนาด 5×5 , 7×7 และ 9×9 พิกเซล และได้ค่าความถูกต้องเท่ากับ 100% สำหรับขนาด 11×11 และ 13×13 พิกเซล นอกจากนี้ ผลลัพธ์ การจำแนกข้าวขาวประเภท 100% ชั้น 2 ที่ได้รับจาก การใช้องค์ประกอบโครงสร้างรูปสี่เหลี่ยมจัตุรัส พบว่า ถ้าเพิ่มขนาดขององค์ประกอบโครงสร้าง รูปสี่เหลี่ยมจัตุรัสมากขึ้น จะมีผลทำให้ความถูกต้องในการจำแนกประเภทข้าวขาว 100% ชั้น 2 ลดลงจนถึง 49% ในกรณีการใช้ขนาด 13×13 พิกเซล เนื่องจากองค์ประกอบโครงสร้างรูปสี่เหลี่ยมจัตุรัสสำหรับขนาด 11×11 และ 13×13 พิกเซล มีขนาดใหญ่กว่าสัญญาณรับกวน จึงทำให้ทำลาย

รับจากการใช้องค์ประกอบโครงสร้างรูปสี่เหลี่ยมจัตุรัส พบว่า ถ้าเพิ่มขนาดขององค์ประกอบโครงสร้างรูปสี่เหลี่ยมจัตุรัสมากขึ้น จะมีผลทำให้ความถูกต้องในการจำแนกประเภทข้าวขาว 100% ชั้น 1 เพิ่มมากขึ้นจนถึง 100% ในกรณีการใช้ขนาด 11×11 และ 13×13 พิกเซล เนื่องจากองค์ประกอบโครงสร้างรูปสี่เหลี่ยมจัตุรัสสำหรับขนาด 3×3 , 5×5 , 7×7 และ 9×9 พิกเซล มีขนาดเล็กกว่าสัญญาณรับกวน จึงทำให้สัญญาณรับกวนที่อยู่ในภาพเมล็ดข้าวขาวถูกกรองออกได้น้อยกว่า การใช้องค์ประกอบโครงสร้างรูปสี่เหลี่ยมจัตุรัสที่มีขนาด 11×11 และ 13×13 พิกเซล

จากการทดลองในการจำแนกประเภท ข้าวขาว 100% ชั้น 2 จำนวน 100 ภาพ ร่วมกับ องค์ประกอบโครงสร้างรูปสี่เหลี่ยมจัตุรัสขนาด 3×3 , 5×5 , 7×7 , 9×9 , 11×11 และ 13×13 พิกเซล ในตาราง 2 พบว่า อัลกอริทึมหรือโปรแกรมที่ได้พัฒนาขึ้นสามารถจำแนกประเภทข้าวขาว 100% ชั้น 2 ได้ค่าความถูกต้องเท่ากับ 99% สำหรับขนาด 3×3 , 5×5 , 7×7 และ 9×9 พิกเซล ได้ค่าความถูกต้องเท่ากับ 97% สำหรับขนาด 11×11 พิกเซล และได้ค่าความถูกต้องเท่ากับ 49% สำหรับขนาด 13×13 พิกเซล นอกจากนี้ ผลลัพธ์การจำแนกข้าวขาวประเภท 100% ชั้น 2 ที่ได้รับจาก การใช้องค์ประกอบโครงสร้างรูปสี่เหลี่ยมจัตุรัส พบว่า ถ้าเพิ่มขนาดขององค์ประกอบโครงสร้างรูปสี่เหลี่ยมจัตุรัสมากขึ้น จะมีผลทำให้ความถูกต้องในการจำแนกประเภทข้าวขาว 100% ชั้น 2 ลดลงจนถึง 49% ในกรณีการใช้ขนาด 13×13 พิกเซล เนื่องจากองค์ประกอบโครงสร้างรูปสี่เหลี่ยมจัตุรัสสำหรับขนาด 11×11 และ 13×13 พิกเซล มีขนาดใหญ่กว่าสัญญาณรับกวน จึงทำให้ทำลาย

ส่วนที่เป็นเมล็ดข้าวขาวบางส่วนออกใบได้มากกว่า การใช้องค์ประกอบโครงสร้างรูปสี่เหลี่ยมจัตุรัส ที่มีขนาด 3×3 , 5×5 , 7×7 และ 9×9 พิกเซล

จากผลการทดลองในการจำแนกประเภท ข้าวขาว 10% จำนวน 100 ภาพ ร่วมกับองค์ประกอบโครงสร้างรูปสี่เหลี่ยมจัตุรัสขนาด 3×3 , 5×5 , 7×7 , 9×9 , 11×11 และ 13×13 พิกเซล ในตาราง 2 พบว่า อัลกอริทึมหรือโปรแกรมที่ได้พัฒนาขึ้นสามารถจำแนกประเภทข้าวขาว 10% ได้ค่าความถูกต้องเท่ากับ 100% สำหรับขนาด 3×3 และ 5×5 พิกเซล ได้ค่าความถูกต้องเท่ากับ 99% สำหรับขนาด 7×7 พิกเซล ได้ค่าความถูกต้องเท่ากับ 98% สำหรับขนาด 9×9 พิกเซล ได้ค่าความถูกต้องเท่ากับ 95% สำหรับขนาด 11×11 พิกเซล และได้ค่าความถูกต้องเท่ากับ 2% สำหรับขนาด 13×13 พิกเซล นอกจากนี้ ผลลัพธ์การจำแนกข้าวขาวประเภท 10% ที่ได้รับจากการใช้องค์ประกอบโครงสร้างรูปสี่เหลี่ยมจัตุรัส พบร สำคัญเพิ่มขนาดขององค์ประกอบโครงสร้างรูปสี่เหลี่ยมจัตุรัสมากขึ้น จะมีผลทำให้ความถูกต้องในการจำแนกประเภท ข้าวขาว 10% ลดลงจนถึง 2% ในกรณีการใช้ขนาด 13×13 พิกเซล เนื่องจากองค์ประกอบโครงสร้างรูปสี่เหลี่ยมจัตุรัสสำหรับขนาด 7×7 , 9×9 , 11×11 และ 13×13 พิกเซล มีขนาดใหญ่กว่าลัญญาณรบกวน จึงทำให้ทำลายส่วนที่เป็นเมล็ดข้าวขาวบางส่วนออกใบได้มากกว่าการใช้องค์ประกอบโครงสร้างรูปสี่เหลี่ยมจัตุรัสที่มีขนาด 3×3 และ 5×5 พิกเซล

4. ສຽງ

ในบทความนี้ได้นำเสนอการพัฒนาอัลกอริทึม และโปรแกรมซึ่งใช้สำหรับการจำแนกกลุ่มเมล็ด

ข้าวขาวชนิดต่างๆ ตามมาตรฐานข้าวไทย พ.ศ. 2540 ด้วยเทคนิคการประมวลผลภาพจำนวน 9 ขั้นตอนตามที่กล่าวมาแล้วในหัวข้อที่ 2 จากการทดลองและทดสอบโปรแกรมที่พัฒนาขึ้นกับภาพของเมล็ดข้าวขาว จำนวน 800 ภาพ พบว่า โปรแกรมสามารถคำนวณหาค่าความยาวของเมล็ดข้าวขาวแต่ละเมล็ดบนภาพถ่ายดิจิทัลทั้งแบบเมล็ดเดียวหรือแบบกลุ่ม ได้การประมวลผลอย่างรวดเร็วและมีประสิทธิภาพด้วยค่าความผิดพลาดของความยาวสมบูรณ์อยู่ระดับเฉลี่ย 0.01 มิลลิเมตร ต่อเมล็ด นอกจากนี้ เมื่อใช้โปรแกรมที่พัฒนาขึ้น มาจำแนกประเภทข้าวขาวจากภาพกลุ่มข้าวชนิด 100% ชั้น 1 กลุ่มข้าวชนิด 100% ชั้น 2 และ กลุ่มข้าวชนิด 10% จำนวนชนิดละ 100 ภาพ ในแต่ละชนิดกรองลัญญาณรบกวนด้วยกระบวนการประมวลผลภาพด้วยองค์ประกอบโครงสร้างรูปสี่เหลี่ยมจัตุรัส 6 ขนาดคือ 3×3 , 5×5 , 7×7 , 9×9 , 11×11 และ 13×13 พิกเซล พบร วิธีที่นำเสนอด้วยกันคือ องค์ประกอบโครงสร้างรูปสี่เหลี่ยมจัตุรัสขนาด 5×5 พิกเซล สามารถจำแนกประเภทข้าวขาวทั้งสามชนิดได้ถูกต้องด้วยค่าความถูกต้องสูงสุดถึง 99.33% โดยการจำแนกประเภทเมล็ดข้าวขาวที่ได้พัฒนาขึ้น สามารถนำไปประยุกต์ใช้ตรวจสอบและจำแนกเมล็ดข้าวชนิดต่าง ๆ ที่ต้องการตรวจสอบได้บนพื้นฐานของการหาความยาวเป็นเกณฑ์ในการคัดแยก

5. ກົດຕັດໂຮມປະກາດ

บทความนี้สำเร็จลุล่วงด้วยดีโดยได้รับการสนับสนุนทุนวิจัย ภายใต้โครงการส่งเสริมการผลิตผลงานวิจัยมหาวิทยาลัยเทคโนโลยีราชมงคลล้านนา ประจำปี 2557 (รหัสทุน 57IM-02)

6. เอกสารอ้างอิง

- บาร ตั้งดี และ สุชาติ แย้มเม่น. 2554. การพัฒนา อัลกอริทึมสำหรับตรวจหาเม็ดโพมจาก ภาพอะแดปเตอร์การ์ด. การประชุม วิชาการระดับนานาชาติ นเรศร์วิจัย ครั้งที่ 7. ประกาศกระทรวงพาณิชย์. 2540. ประกาศ กระทรวงพาณิชย์ เรื่อง มาตรฐานสินค้าข้าว พ.ศ. 2540. ประกาศในราชกิจจานุเบกษา เล่ม 114 ตอนที่ 31
- โชคชัยตัน พุทธิเย็น และ สุชาติ แย้มเม่น. 2557. อัลกอริทึมสำหรับการจำแนกประเภท เมล็ดข้าวขาว. การประชุมวิชาการเครือข่าย วิศวกรรมไฟฟ้ามหาวิทยาลัยเทคโนโลยี ราชมงคล ครั้งที่ 6. (EENET2014).
- โชคชัยตัน พุทธิเย็น. 2556. การพัฒนาอุปกรณ์ ต้นแบบเพื่อการตรวจสอบคุณภาพเมล็ด ข้าวขาว. วิทยานิพนธ์วิศวกรรมศาสตร์- มหาบัณฑิตสาขาวิศวกรรมไฟฟ้า. มหาวิทยาลัย นเรศร์.
- สุชาติ แย้มเม่น และ โชคชัยตัน พุทธิเย็น. 2555. อัลกอริทึมสำหรับตรวจหาความสมบูรณ์ ของเมล็ดข้าวขาว. การประชุมวิชาการทาง วิศวกรรมไฟฟ้า ครั้งที่ 35. (EECON-35).
- A. Ajmal., & I. M. Hussain. 2010. **Vehicle detection using morphological image processing technique.** Paper presented at the Multimedia Computing and Information Technology (MCIT), 2010 International Conference on 2-4 March 2010, p. 65-68.
- A.K. Jain. 1989. **Fundamentals of Digital Image Processing.** Prentice-Hall, Inc., Englewood Cliffs, NJ.

- G.A. Baraghimian. 1989. **Connected component labeling using self-organizing feature maps.** Paper presented at the Computer Software and Applications Conference, 1989. COMPSAC 89., Proceedings of the 13th Annual International on 20-22 September 1989, p. 680-684.
- G. Xu., & X. Meng. 2008 **Detection and recognition on parameters of object's internal structure.** Neural Networks, 2008. IJCNN 2008. (IEEE World Congress on Computational Intelligence). IEEE International Joint Conference. June 1-8, 2008, p. 543-547.
- J. Canny. 2010. **A Computational Approach to Edge Detection.** [Online]. Available from <http://ieeexplore.ieee.org/stamp/Stamp.jsp?tp=&arnumber=4767851>.
- J. Lin., S. Luo., Q. Li., H. Zhang., & S. Ren. 2009. **Real-time rail head surface defect detection: A geometrical approach.** Paper presented at the Industrial Electronics, 2009. ISIE 2009. IEEE International Symposium.
- K.S. Sim., Y.Y. Kho. & C.P. Tso. 2008. **Application of Contrast Enhancement Bilateral Closing Top-hat Otsu Thresholding (CEBICHTOT) technique on crack images.** Paper presented at the Cybernetic Intelligent Systems, 2008. CIS 2008. 7th IEEE International

- Conference on 9-10 September 2008,
p. 1-4.
- K.R. Castleman. 1996. **Digital Image Processing**. Prentice Hall International, Inc., Englewood Cliffs, NJ.
- N. Otsu. 1979. **A Threshold Selection Method from Gray-Level Histograms**. Systems, Man and Cybernetics, IEEE Transactions on, 9(1), p. 62-66.
- P.K. William. 1991. **Digital Image Processing**. Sun Microsystems, Inc., California.
- P. Liang., X. Zhiwei., & D. Jiguang. 2010. **Fast normalized cross-correlation image matching based on multiscale edge information**. Paper presented at the Computer Application and System Modeling (ICCASM), 2010 International Conference on 22-24 September 2010, p. V10-507-V10-511.
- P. Soille. 2003. **Morphological image analysis : principles and applications**. Berlin; New York: Springer.
- R.C. Gonzalez and R.E. Woods. 2002. **Digital Image Processing**. Upper Saddle River, New Jersey: Prentice Hall.
- X. Ruihua., W. Ping., Z. Wu., & X. Qi. 2009). **A novel overlapping mice macrophages images segmentation method**. Paper presented at the Image Analysis and Signal Processing, 2009. IASP 2009. International Conference on 11-12 April 2009, p. 40-43.